

I-6 徳島県における二、三の港湾の副振動解析

徳島大学工業短期大学部

正員。村上仁士

徳島大学大学院

学生員 高谷博文

1. まえがき： 港湾に津波や高潮の resurgence などによる長周期の波が侵入すると、海水は共振現象を起し、浸入波高の数倍にも達し、港湾施設に被害を及ぼすことが知られている。また、共振現象による波高の増幅度が小さくとも、振動モードの頻り位置では、水平水粒子速度が大きく、船舶にとっては危険であり、特にマリーナなどの小型船舶にとっては、もやい潮の切断、操船などに苦心をもたらすため、その防止対策が検討されている。本研究は、徳島県における副振動の実態を把握するため、二、三の港湾の潮流記録とともに、若干のスペクトル解析を行い、主な港湾の固有周期を明らかにしようとしたものである。



図-1 対象港湾配置図

2. 対象港湾および解析に用いた副振動モデル：

対象として港湾は、図-1 に示すように、小松島港、鷲崎、日御崎港および那佐湾である。解析に用いたモデルは、カムチャツカ地震津波(1962)、ナリ地震津波(1960)、ナ勝沖地震津波(1968)、ハルマヘラ地震津波(1972)等の地震津波によるもの、その他台風や低気圧、前線の通過によるものなどを対象としている。図-2 は、潮位記録に現われている副振動が顕著な場合の一例を示している。スペクトル解析は、潮位記録を拡大して 5 min 間隔で読み取り、Blackman-Tukey 法(自由度 40)を求めた。したがって、解析から得られる 10 min 以下の値は信頼できず、除いている。

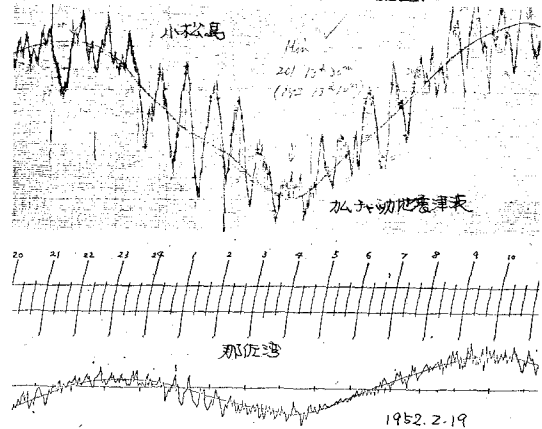


図-2 副振動の記録例

3. 各港湾の振動特性： (1) 小松島港 — 図-3 は小松島港における副振動のパワースペクトラルを示したもので、縦軸はパワーログスケール ($\log_{10}(4\pi)$) を、横軸は周波数 f (Hz) を示す。図から、 $30 \sim 40$ Hz, 50 Hz, $10 \sim 11$ Hz, 13 Hz, $17 \sim 18$ Hz のビーグーがみられる。このうち、 30 Hz 以上の固有振動は小松島港自身の振動とは考えられず、紀伊水道を $46 \sim 53.4$ km とし、平均水深と 40 m として計算したスケールビーグーの振動モードに近いことから、水道域の振動とも考えられる。もっともナリ地震津波の初期の振動の周期は $40 \sim 50$ min といわれてあり、スペクトル解析でパワーが大きくなっているのは、この強制振動部分がデータに入っていたのかかもしれない。 $10 \sim 13$ Hz の振動は小松島港口を頻りにした振動モードおよび複数の振動の周期に近い。 $17 \sim 18$ Hz のビーグーは、ナリ地震津波やカムチャツカ地震津波のよう、全体のパワーが大きいときには現われているが、これは基本モードに対する強制波成分にはほとんど加算するようである。したがって、小松島港の固有周期は、本解析だけでは明らかではないが、港口で節となる基本モードが約 7 min、横振動の基本モードで 6 min 程度と考えられる。

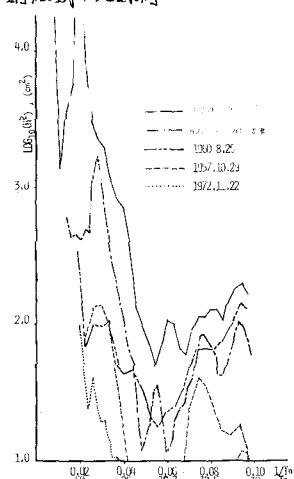


図-3 小松島港のパワーログスケール

(2) 橋湾 - 図-4は、橋湾におけるパワースペクトルで、40min および0.12~1.3min のピークがみられ、10min 以下でもピークが現れる可能性があることがわかる。40min の固有振動は湾口を節とする基本モードであろう。1972.11.22 のデータについて、小松島港の場合と比較すると、橋湾では全体的にパワーのレベルが大きくなり、この湾のようにV字型の湾では、いわゆる Green の定理で示されるように進行波としての波高上昇と副振動との合成されたV字型で湾口の特性が顕著されるようと思われる。なお、12~13min の固有振動は、湾口を節とする湾内にも節をもつスレーブモードの固有周期に対応している。

(3) 日和佐港 - 図-5に示すように、30min, 17min および0.14min のあたりにピークがあり、10min 以下でもピークがあることが予想される。30min の固有振動は日和佐港では考えられず、これは千勝沖地震津波のような外力に対する防護セイシユなども考えられるが、さらに今後の検討が必要であろう。また、17min および0.14min の固有振動の原因についても明らかではない。

(4) 那佐湾 - この湾に特有する検潮記録は、1952年の1年間しかない。しかし、カムナツカ地震津波データがこれまでいることは非常に貴重であろう。図-5でわかるように、30min, 21min および0.17min の顕著な固有振動がみられる。21min の固有振動は、湾口を節とする基本モードであり、17min のそれは、基本モードの周波数である。なお、30min の固有振動の原因について明らかではないが、日和佐港同様、防護セイシユなどの影響ではないかと思われる。興味深い点は、この湾のように湾嘴が狭く、調長V字形の湾では津波のような大きいエネルギーをとどめない外力に対しても容易に反射現象が生じ、実施による波高増幅が大きくなり、波の非線形効果が顕著に現れることがある。また、カムナツカ地震津波について、小松島港でのパワーのレベルを比較すると、全般に那佐湾でのレベルが大きくなり、実施時の波高増幅割合が大きくなる。

4. むすび： 本解析によって、各港湾の固有周期は明らかになつたが、その周期が何に起因するかについては今後さらに検討が必要であると思われる。

この種のスペクトル解析は、データの読み取りに非常に労力を要し解析方法についても十分な研究がなされなければならないであろう。また、従来よく用いられていて、山ゆき平均的波浪との比較もする必要があると思われる。

最後に、本研究において貴重な資料を提供していただきいた、徳島地気象台、愛媛県河川土木事務所、日和佐工事事務所ならびに日和佐工事事務所海岸部事務の方々へ感謝の意を表す。

参考文献

- 1) Blackman, R.B. and J.W. Tukey: The measurement of power spectra, Dover, New York, 1958.
- 2) 連輸省第三港湾建設局小松島港工事事務所： 小松島港・紀伊水道地域気象海象調査報告書，P.93，昭和47.3.
- 3) 日本気象協会関西本部： 橋湾水理解析報告書，P.42，昭和48.3.
- 4) たとえば、土木学会編： 小波立式集，昭和46年改訂版，P.564，1971.
- 5) 気象庁： 1968年千勝沖地震調査報告，気象庁波浪観測，P.68号，P.22，昭和44.3.

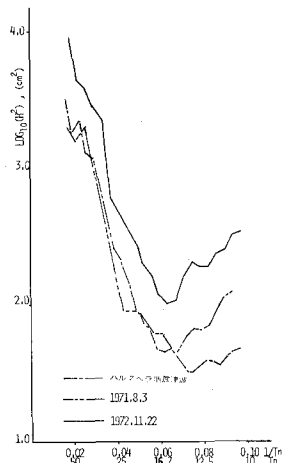


図-4 橋湾のパワースペクトル

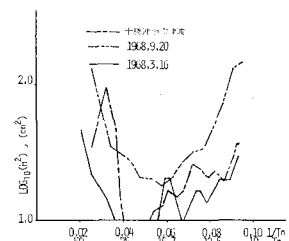


図-5 日和佐港のパワースペクトル

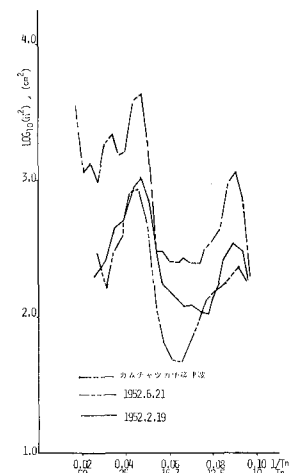


図-6 那佐湾のパワースペクトル